

TT 25 N, TD 25 N, DT 25 N

Elektrische Eigenschaften**Electrical properties**

Höchstzulässige Werte

Maximum rated values

Periodische Vorwärts- und Rückwärts-Spitzenperrspannung	repetitive peak forward off-state and reverse voltages	$t_{vj} = -40^{\circ}\text{C} \dots t_{vj\ max}$	V_{DRM}, V_{RRM}	600, 800 1000, 1200 1400, 1600	V
Vorwärts-Stoßspitzenspannung	non repetitive peak forward off-state voltage	$t_{vj} = -40^{\circ}\text{C} \dots t_{vj\ max}$	$V_{DSM} = V_{DRM}$		
Rückwärts-Stoßspitzenspannung	non repetitive peak reverse voltage	$t_{vj} = +25^{\circ}\text{C} \dots t_{vj\ max}$	$V_{RSM} = V_{RRM}$	+ 100	V
Durchlaßstrom-Grenzeffektivwert Dauergrenzstrom	RMS on-state current average on-state current	$t_C = 85^{\circ}\text{C}$ $t_C = 68^{\circ}\text{C}$	I_{TRMSM}	50	A
Stoßstrom-Grenzwert	surge current	$t_{vj} = 25^{\circ}\text{C}, t_p = 10\text{ ms}$ $t_{vj} = t_{vj\ max}, t_p = 10\text{ ms}$ $t_{vj} = 25^{\circ}\text{C}, t_p = 10\text{ ms}$ $t_{vj} = t_{vj\ max}, t_p = 10\text{ ms}$	I_{TSM}	25 32 460	A
Grenzlastintegral	$\int i^2 dt$ -value	$t_{vj} = 25^{\circ}\text{C}, t_p = 10\text{ ms}$ $t_{vj} = t_{vj\ max}, t_p = 10\text{ ms}$	$\int i^2 dt$	520 1350 1060	A ² s
Kritische Stromsteilheit	critical rate of rise of on-state current	$V_D \leq 67\% V_{DRM}, f_0 = 50\text{ Hz}$ $V_L = 8\text{ V}, i_{GM} = 0,6\text{ A}, di_G/dt = 0,6\text{ A}/\mu\text{s}$	$(di/dt)_{cr}$	100	A/ μs
Kritische Spannungssteilheit	critical rate of rise of off-state voltage	$t_{vj} = t_{vj\ max}, V_D = 67\% V_{DRM}$	$(dv/dt)_{cr}$	1000	V/ μs

Charakteristische Werte

Characteristic values

Durchlaßspannung	on-state voltage	$t_{vj} = t_{vj\ max}, i_T = 80\text{ A}$	V_T	max.	1,93 V
Schleusenspannung	threshold voltage	$t_{vj} = t_{vj\ max}$	$V_{T(TO)}$		1,05 V
Ersatzwiderstand	slope resistance	$t_{vj} = t_{vj\ max}$	r_T	max.	11 m Ω
Zündstrom	gate trigger current	$t_{vj} = 25^{\circ}\text{C}, V_D = 6\text{ V}$	I_{GT}	max.	150 mA
Zündspannung	gate trigger voltage	$t_{vj} = 25^{\circ}\text{C}, V_D = 6\text{ V}$	V_{GT}	max.	2,5 V
Nicht zündender Steuerstrom	gate non trigger current	$t_{vj} = t_{vj\ max}, V_D = 6\text{ V}$	I_{GD}	max.	5 mA
Nicht zündende Steuerspannung	gate non trigger voltage	$t_{vj} = t_{vj\ max}, V_D = 0,5 V_{DRM}$	V_{GD}	max.	0,2 V
Haltestrom	holding current	$t_{vj} = 25^{\circ}\text{C}, V_D = 6\text{ V}, R_A = 10\Omega$	I_H	max.	200 mA
Einraststrom	latching current	$t_{vj} = 25^{\circ}\text{C}, V_D = 6\text{ V}, R_{GK} \geq 20\Omega$ $i_{GM} = 0,6\text{ A}, di_G/dt = 0,6\text{ A}/\mu\text{s}, t_g = 10\mu\text{s}$	I_L	max.	600 mA
Vorwärts- und Rückwärts-Sperrstrom	forward off-state and reverse currents	$t_{vj} = t_{vj\ max}, V_D = V_{DRM}, V_R = V_{RRM}$	i_D, i_R	max.	8 mA
Zündverzug	gate controlled delay time	$t_{vj} = 25^{\circ}\text{C}, i_{GM} = 0,6\text{ A}, di_G/dt = 0,6\text{ A}/\mu\text{s}$	t_{gd}	max.	1,2 μs
Freiwerdezeit	circuit commutated turn-off time	siehe Techn. Erl./see Techn. Inf.	t_q	typ.	60 μs
Isolations-Prüfspannung	insulation test voltage	RMS, f = 50 Hz, t = 1 min	V_{ISOL}		2,5 kV

Thermische Eigenschaften

Thermal properties

Innerer Wärmewiderstand	thermal resistance, junction to case	$\Theta = 180^{\circ}\text{el, sinus: pro Modul/per module}$ DC: pro Zweig/per arm pro Modul/per module pro Zweig/per arm	R_{thJC}	max.	0,46°C/W
Übergangs-Wärmewiderstand	thermal resistance, case to heatsink	pro Modul/per module pro Zweig/per arm	R_{thCK}	max.	0,1 °C/W
Höchstzul. Sperrsichttemperatur Betriebstemperatur Lagertemperatur	max. junction temperature operating temperature storage temperature			$t_{vj\ max}$ $t_c\ op$ t_{stg}	125°C – 40°C ... +125°C – 40°C ... +125°C

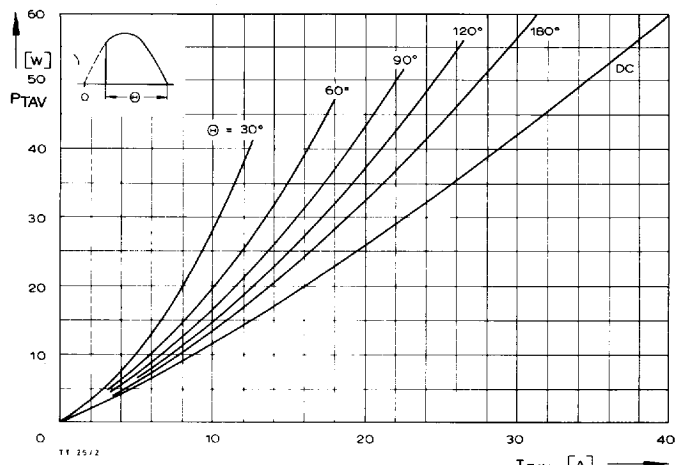
Mechanische Eigenschaften

Mechanical properties

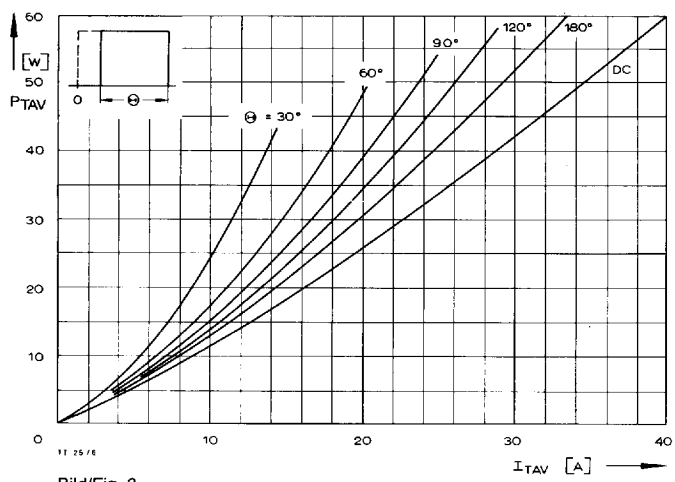
Si-Elemente glaspassiviert, Lötkontakt Innere Isolation Anzugsdrehmomente mechanische Befestigung elektrische Anschlüsse Gewicht Kriechstrecke Schwingfestigkeit Maßbild	Si-pellets glass-passivated, soldered contact internal insulation tightening torques mounting torque terminal connection torque weight creepage distance vibration resistance outline	Toleranz/tolerance ± 15% Toleranz/tolerance + 5%/- 10% $f = 50\text{ Hz}$	M1 M2 G	Al ₂ O ₃
			4 Nm 4 Nm typ. 160 g 12,5 mm 5 · 9,81 m/s ² 1	

Recognized by UNDERWRITERS LABORATORIES INC.

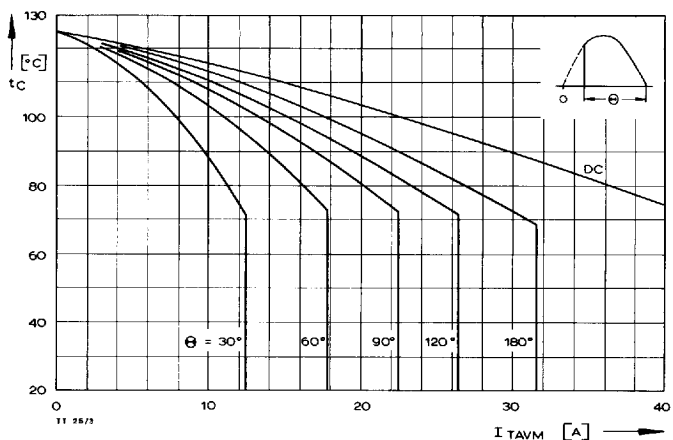
TT 25 N, TD 25 N, DT 25 N



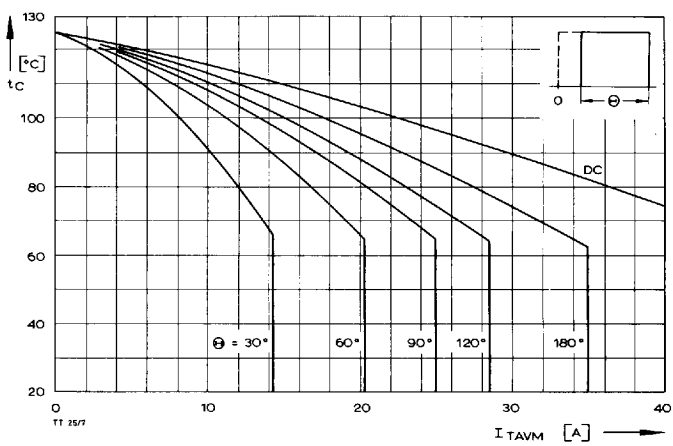
Bild/Fig. 1
Durchlaßverlustleistung eines Zweiges/On-state power loss per arm P_{TAV}
Parameter: Stromflußwinkel/current conduction angle Θ



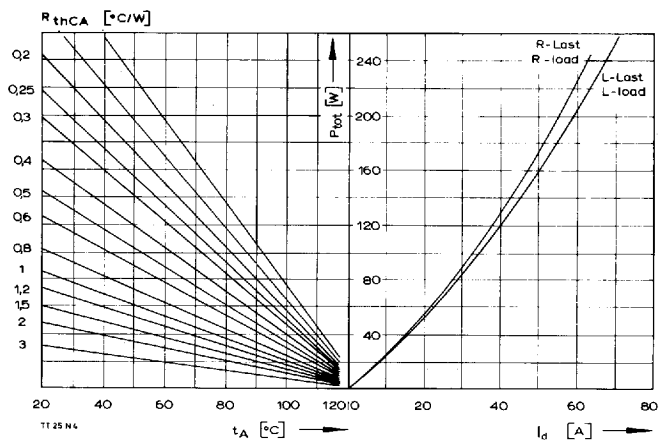
Bild/Fig. 3
Durchlaßverlustleistung eines Zweiges/On-state power loss per arm P_{TAV}
Parameter: Stromflußwinkel/current conduction angle Θ



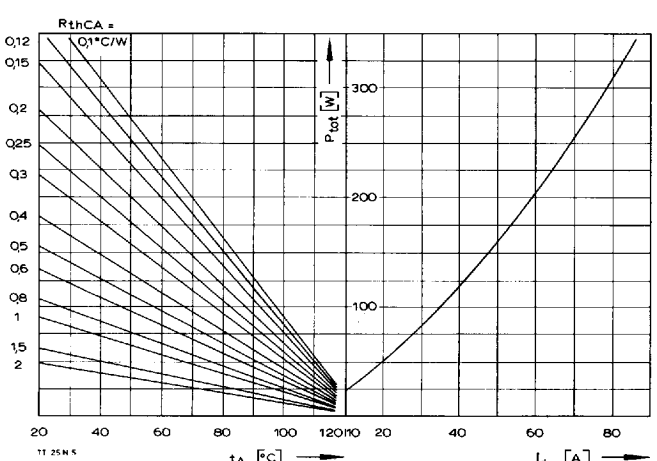
Bild/Fig. 2
Höchstzulässige Gehäusetemperatur t_C in Abhängigkeit vom Zweigstrom
Maximum allowable case temperature t_C versus current per arm



Bild/Fig. 4
Höchstzulässige Gehäusetemperatur t_C in Abhängigkeit vom Zweigstrom
Maximum allowable case temperature t_C versus current per arm

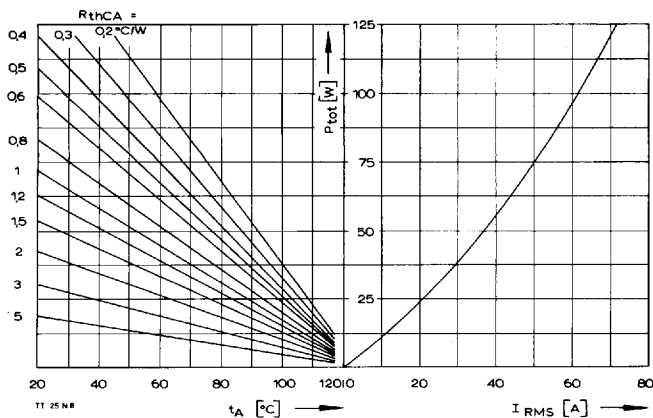


Bild/Fig. 5
B2 – Zweipuls-Brückenschaltung/Two-pulse bridge circuit
Höchstzulässiger Ausgangsstrom I_d in Abhängigkeit von der Umgebungs-
temperatur t_A .
Maximum allowable output current I_d versus ambient temperature t_A .
Parameter: Wärmewiderstand zwischen Powerblock und Umgebung/
thermal resistance case to ambient R_{thCA}

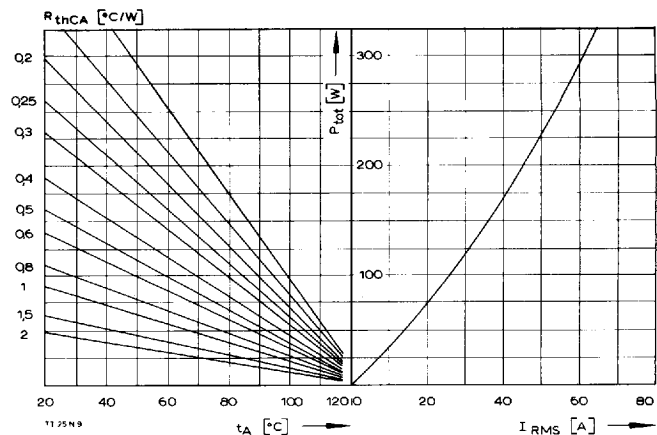


Bild/Fig. 6
B6 – Sechspuls-Brückenschaltung/Six-pulse bridge circuit
Höchstzulässiger Ausgangsstrom I_d in Abhängigkeit von der Umgebungs-
temperatur t_A .
Maximum allowable output current I_d versus ambient temperature t_A .
Parameter: Wärmewiderstand zwischen Powerblock und Umgebung/
thermal resistance case to ambient R_{thCA}

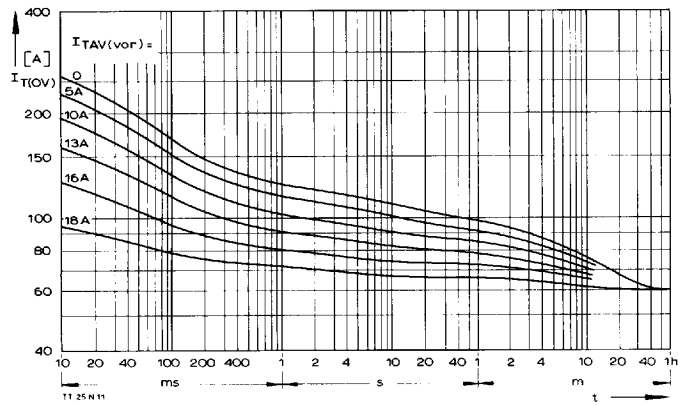
TT 25 N, TD 25 N, DT 25 N



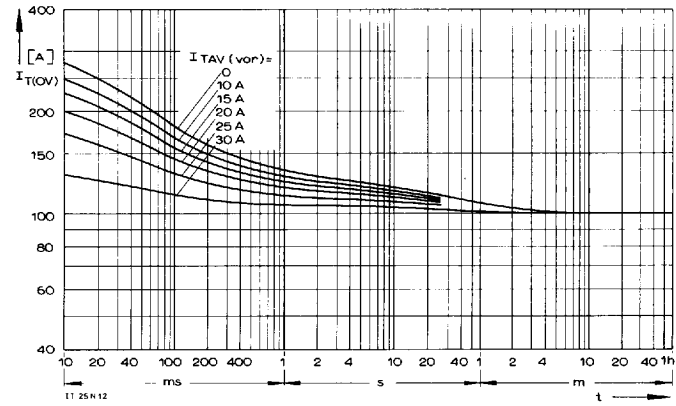
Bild/Fig. 7
 W1C – Einphasen-Wechselwegschaltung/Single-phase inverse parallel circuit
 Höchstzulässiger Strom I_{RMS} in Abhängigkeit von der Umgebungstemperatur t_A .
 Maximum allowable current I_{RMS} versus ambient temperature t_A .
 Parameter: Wärmewiderstand zwischen Powerblock und Umgebung/
 thermal resistance case to ambient R_{ThCA}



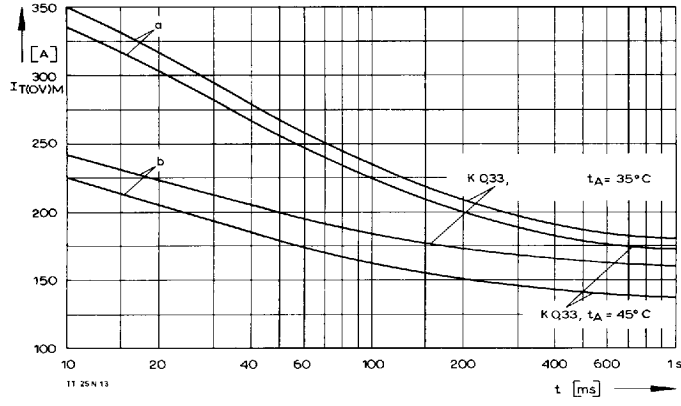
Bild/Fig. 8
 W3C – Dreiphasen-Wechselwegschaltung/Three-phase inverse parallel circuit
 Höchstzulässiger Strom je Phase I_{RMS} in Abhängigkeit von der Umgebungs-
 temperatur t_A .
 Maximum allowable current per phase I_{RMS} versus ambient temperature t_A .
 Parameter: Wärmewiderstand zwischen Powerblock und Umgebung/
 thermal resistance case to ambient R_{ThCA}



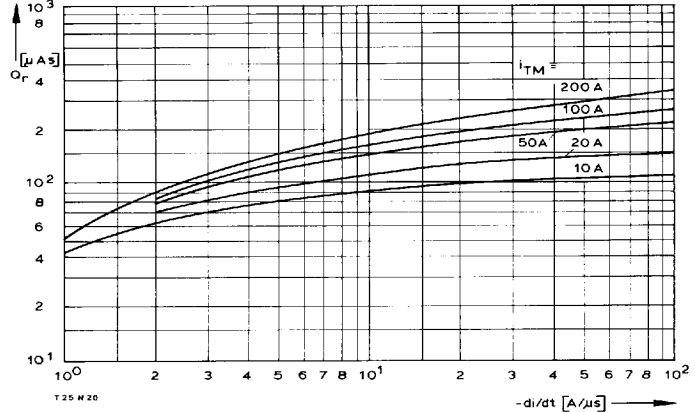
Bild/Fig. 9
 B2 – Zweipuls-Brückenschaltung/Two-pulse bridge circuit
 Überstrom je Zweig $I_{T(OV)}$ bei Luftselbstkühlung, $t_A = 45^\circ\text{C}$, Kühlkörper KP 0.33 S.
 Overload on-state current per arm $I_{T(OV)}$ at natural cooling, $t_A = 45^\circ\text{C}$,
 heatsink type KP 0.33 S.
 Parameter: Vorlaststrom je Zweig/pre-load current per arm $I_{TAV(vor)}$



Bild/Fig. 10
 B2 – Zweipuls-Brückenschaltung/Two-pulse bridge circuit
 Überstrom je Zweig $I_{T(OV)}$ bei verstärkter Luftkühlung, $t_A = 35^\circ\text{C}$, $V_L = 90 \text{ l/s}$,
 Kühlkörper KP 0.33 S.
 Overload on-state current per arm $I_{T(OV)}$ at forced cooling, $t_A = 35^\circ\text{C}$, $V_L = 90 \text{ l/s}$,
 heatsink type KP 0.33 S.
 Parameter: Vorlaststrom je Zweig/pre-load current per arm $I_{TAV(vor)}$

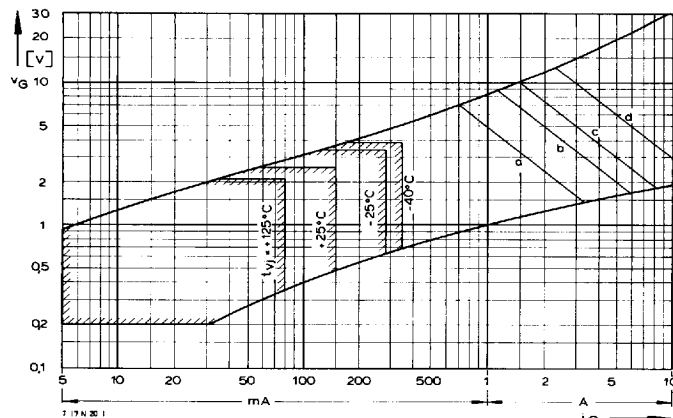


Bild/Fig. 11
 Grenzstrom je Zweig $I_{T(OVIM)}$ bei Luftselbstkühlung, $t_A = 45^\circ\text{C}$ und verstärkter
 Luftkühlung, $t_A = 35^\circ\text{C}$, Kühlkörper KP 0.33 S, $V_{RM} = 0.8 V_{RRM}$.
 Limiting overload on-state current per arm $I_{T(OVIM)}$ at natural ($t_A = 45^\circ\text{C}$) and
 forced ($t_A = 35^\circ\text{C}$) cooling, heatsink type KP 0.33 S, $V_{RM} = 0.8 V_{RRM}$.
 a – Belastung nach Leerlauf/current surge under no-load conditions
 b – Belastung nach Betrieb mit Dauergrenzstrom I_{AVM}
 Current surge occurs during operation at limiting mean on-state current
 rating I_{TAVM}



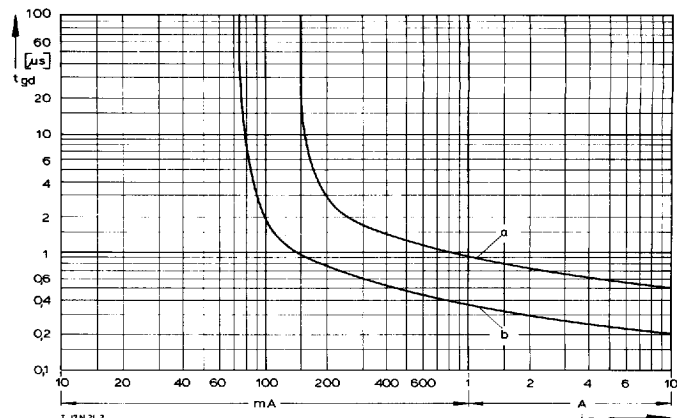
Bild/Fig. 12
 Sperrverzögerungsladung Q_r in Abhängigkeit von der abkommunizierenden
 Stromsteilheit $-di/dt$ bei $t_{ij} = t_{ij \max}$, $V_R = 0.5 V_{RRM}$, $V_{RM} = 0.8 V_{RRM}$.
 Der angegebene Verlauf ist gültig für 90% aller Elemente.
 Recovered charge versus the rate of decay of the forward on-state current
 $-di/dt$ at $t_{ij} = t_{ij \max}$, $V_R = 0.5 V_{RRM}$, $V_{RM} = 0.8 V_{RRM}$.
 These curves are valid for 90% of all devices.
 Parameter: Durchlaßstrom i_{TM} /On-state current i_{TM}

TT 25 N, TD 25 N, DT 25 N

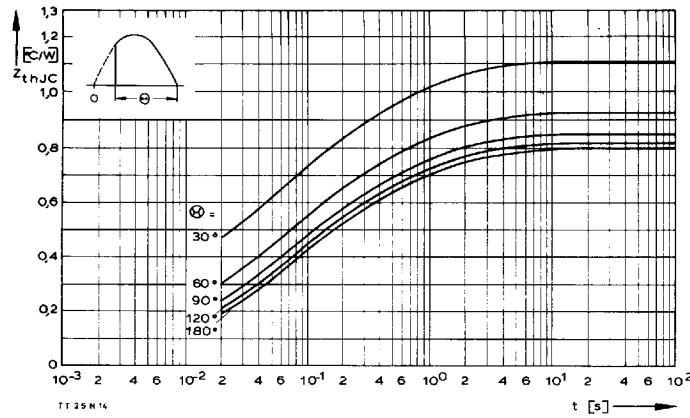


Bild/Fig. 13
Zündbereich und Spitzensteuerleistung bei $V_D = 6$ V.
Gate characteristic and peak gate power dissipation at $V_D = 6$ V.

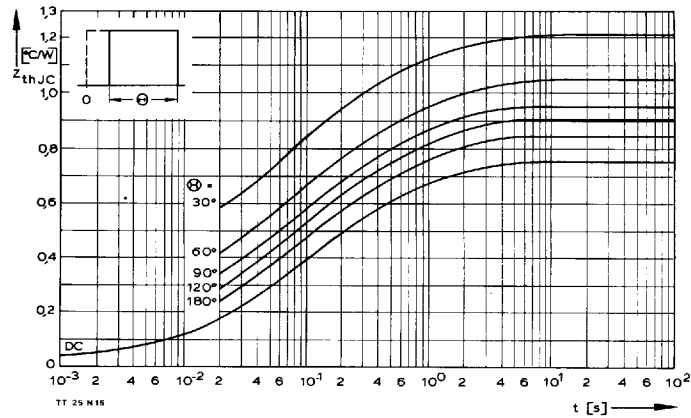
Parameter:	a	b	c	d
Steuerimpulsdauer/Pulse duration t_g [ms]	10	1	0,5	0,1
Höchstzulässige Spitzensteuerleistung/ Maximum allowable peak gate power [W]	5	10	15	30



Bild/Fig. 14
Zündverzug/Gate controlled delay time t_{gd} .
DIN 41787, $t_a = 1 \mu\text{s}$, $t_{vI} = 25^\circ\text{C}$.
a – äußerster Verlauf/limiting characteristic
b – typischer Verlauf/typical characteristic



Bild/Fig. 15
Transienter innerer Wärmewiderstand je Zweig $Z_{(th)JC}$.
Transient thermal impedance per arm $Z_{(th)JC}$, junction to case.



Bild/Fig. 16
Transienter innerer Wärmewiderstand je Zweig $Z_{(th)JC}$.
Transient thermal impedance, junction to case, per arm $Z_{(th)JC}$.

Pos. n	1	2	3	4
R_{thn} [°C/W]	0,0517	0,111	0,162	0,511
τ_n [s]	0,00153	0,00968	0,0501	0,173

$$Z_{thJC} = \sum_{n=1}^{n_{max}} R_{thn} (1 - e^{-t/\tau_n})$$

Transienter Wärmewiderstand Z_{thJC} pro Zweig für DC.
Transient thermal impedance Z_{thJC} per arm for DC.